

100 →

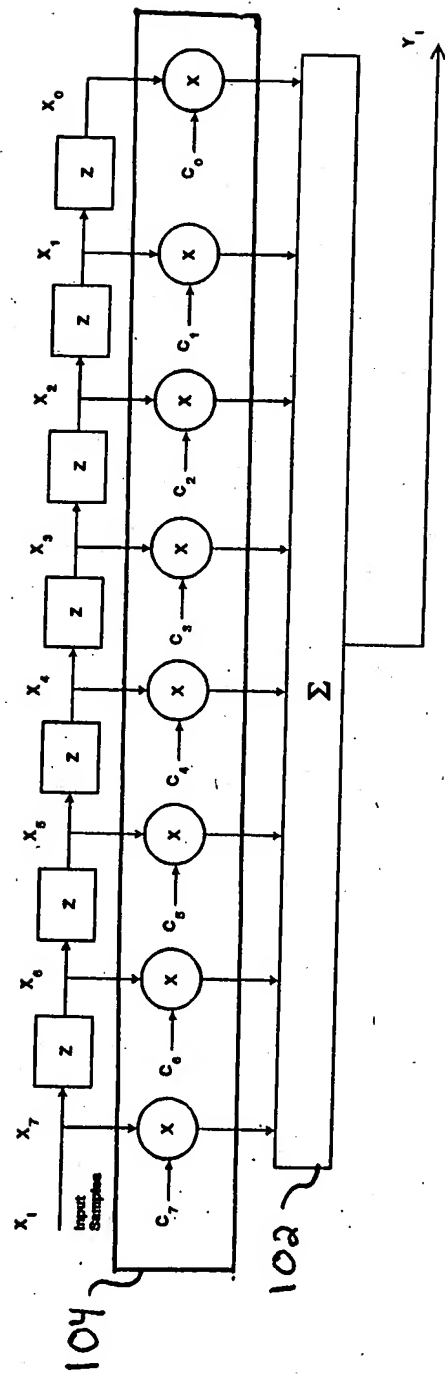


FIG. 1

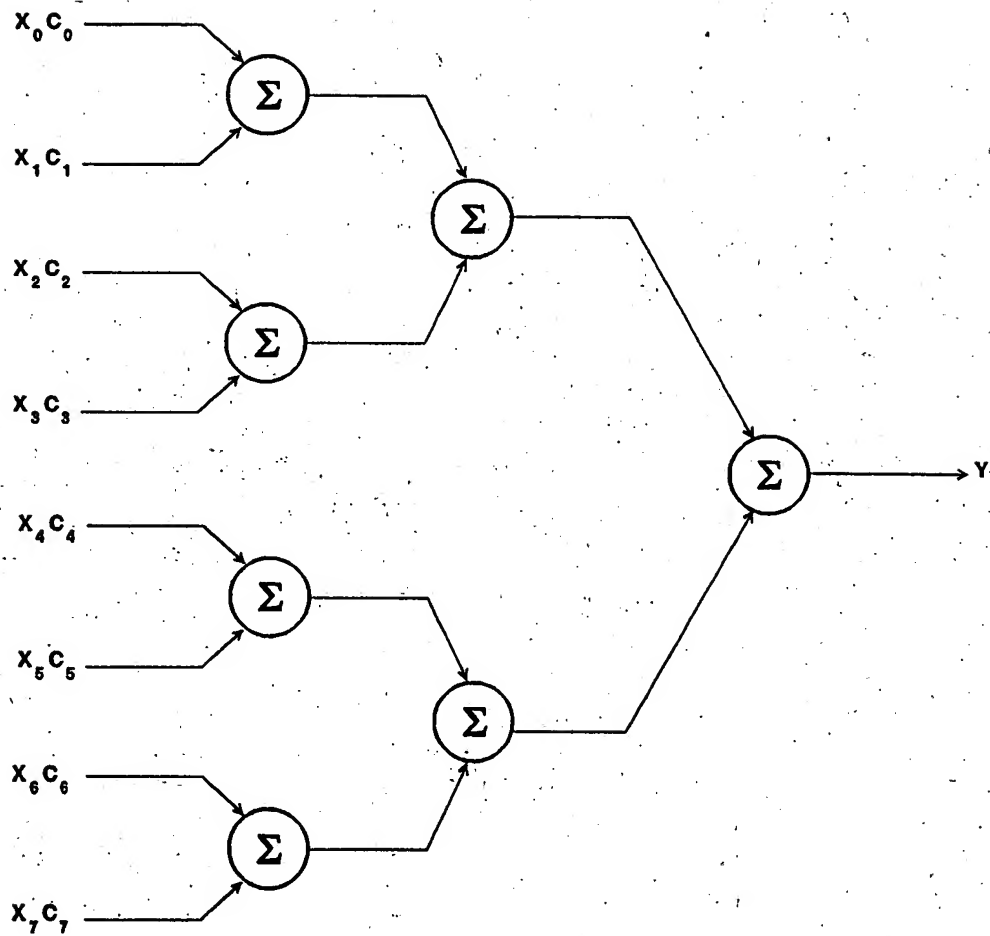


FIG. 2A

2102

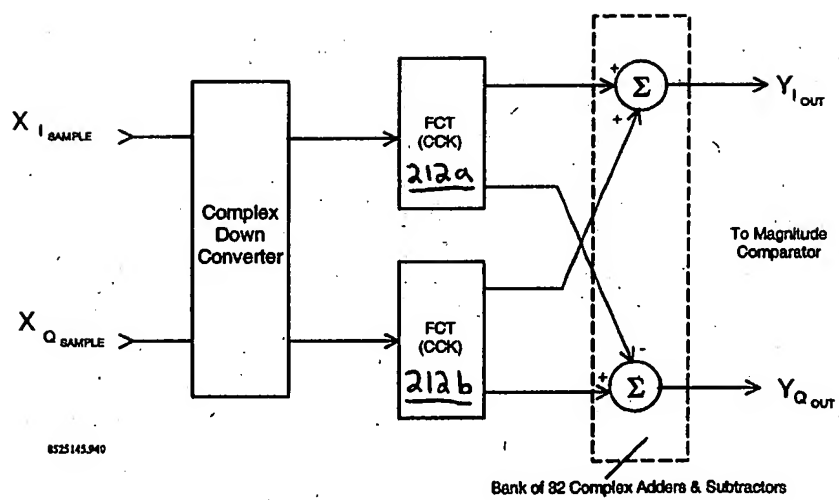


FIG. 2B

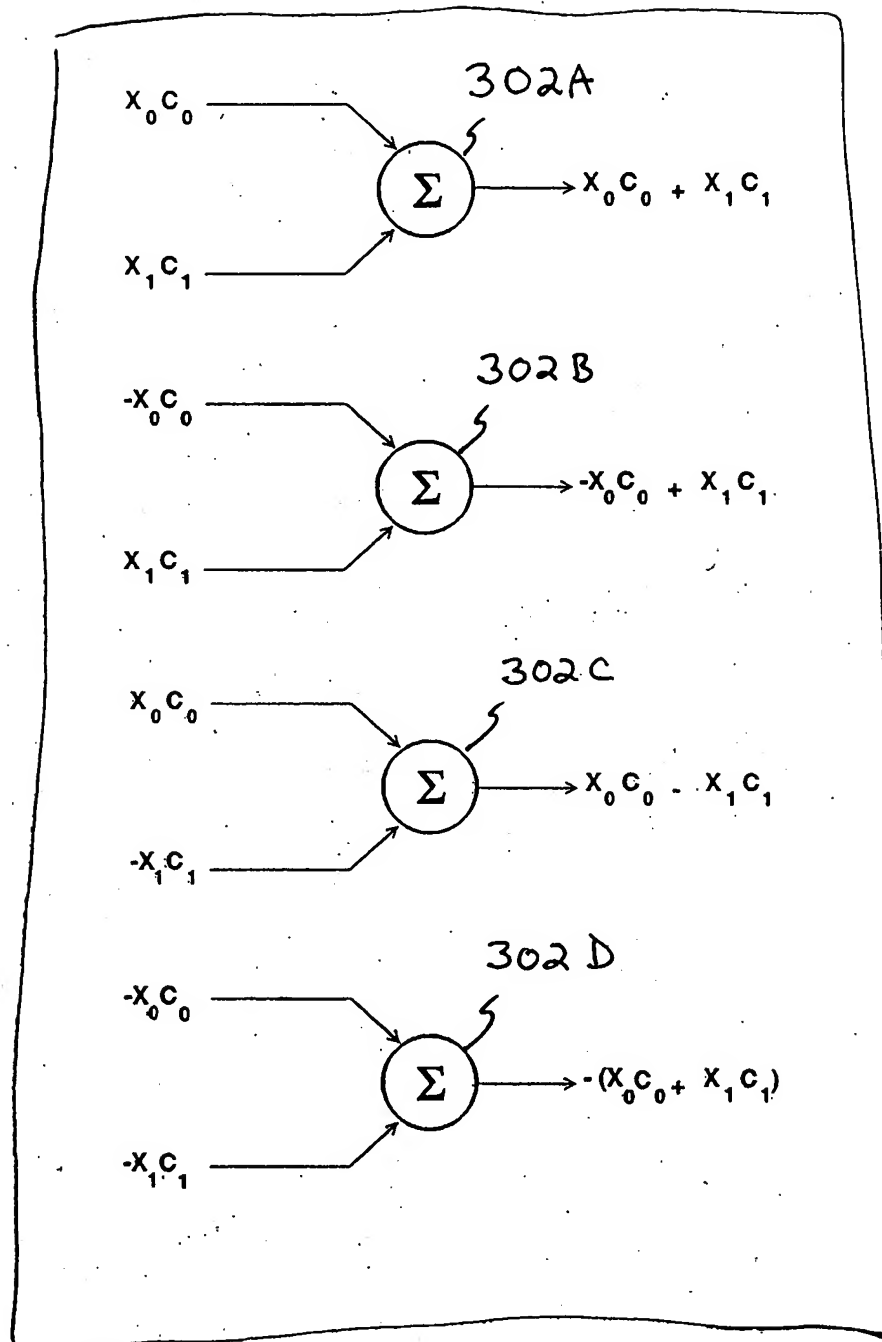
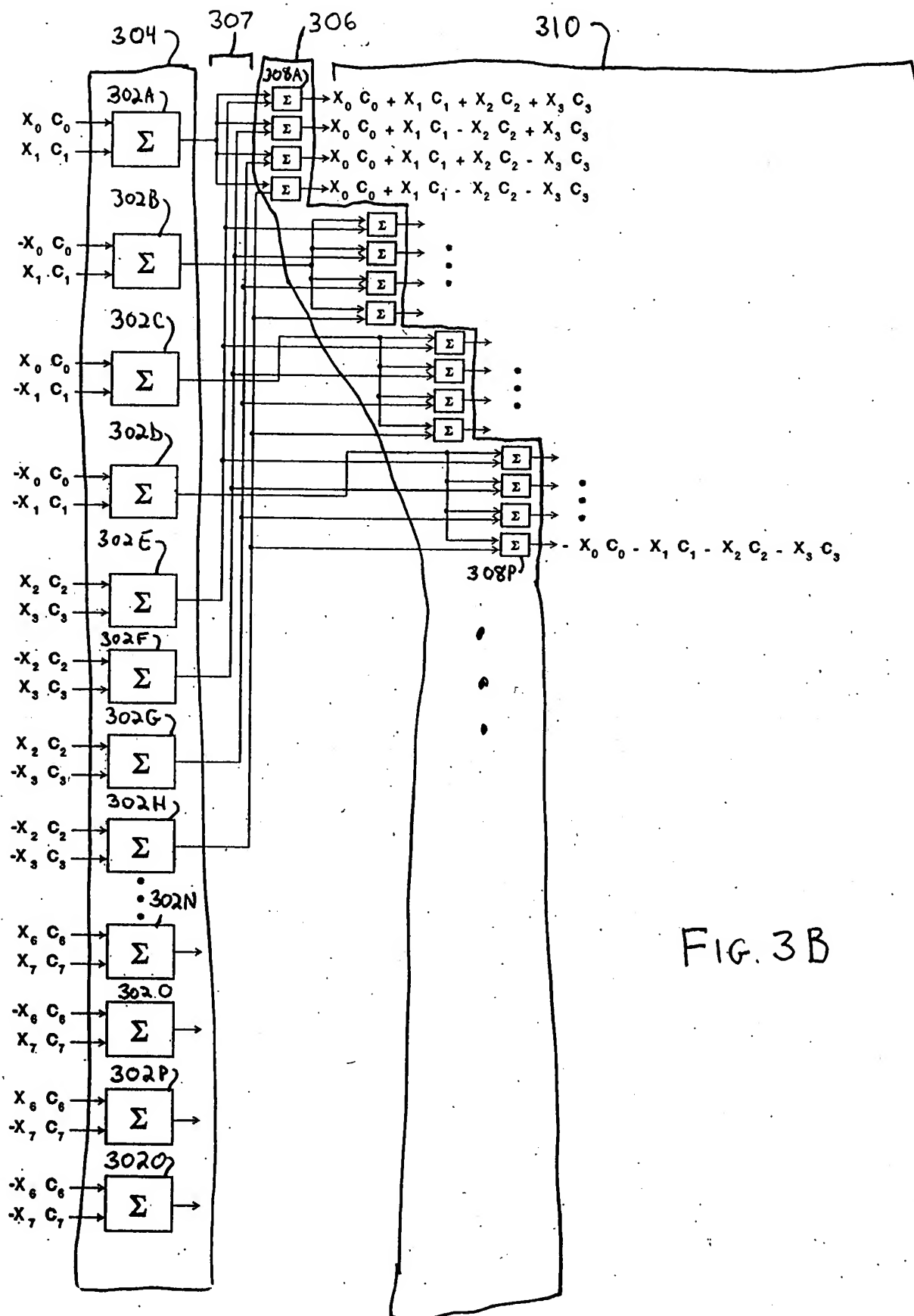


FIG. 3A



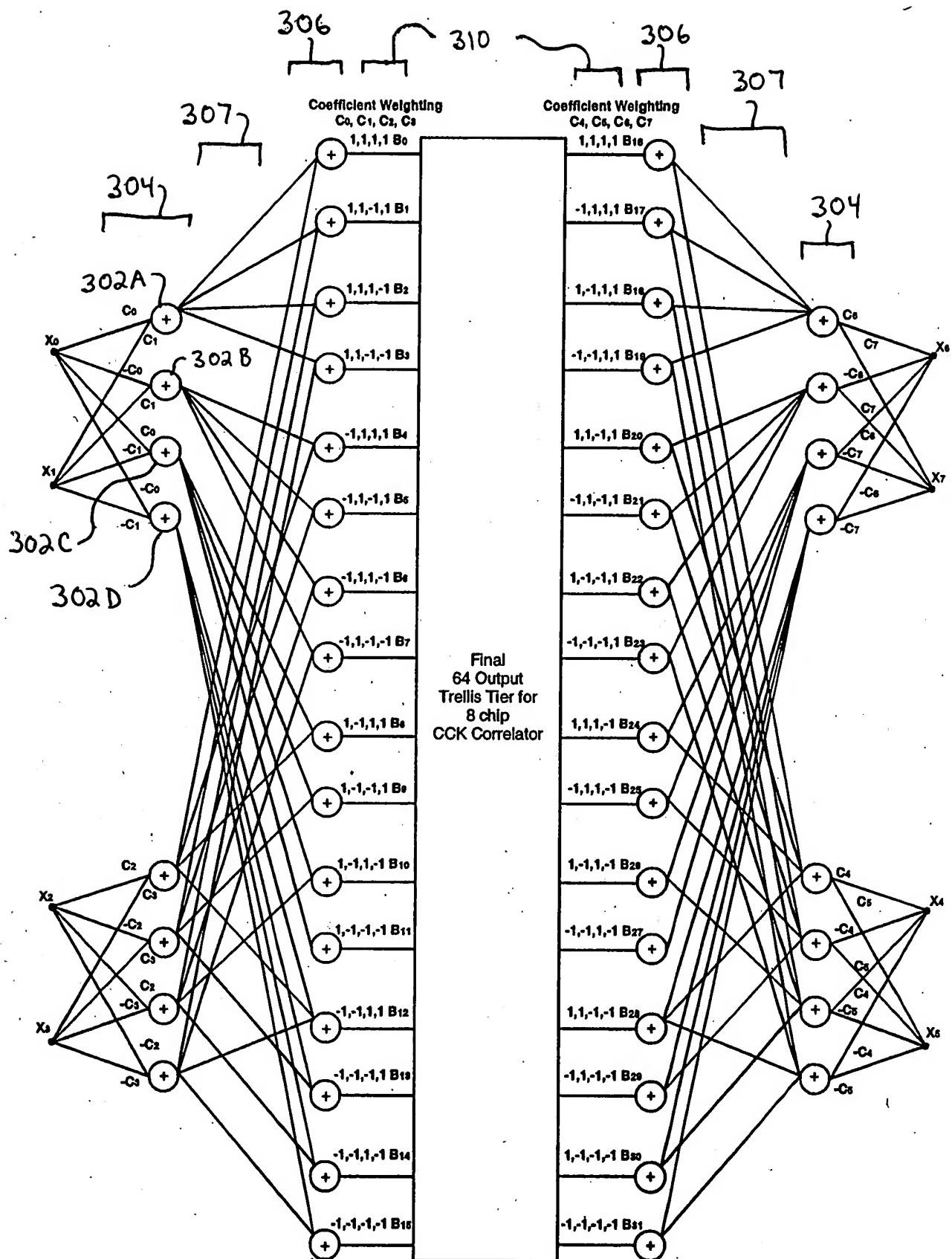


FIG. 3C

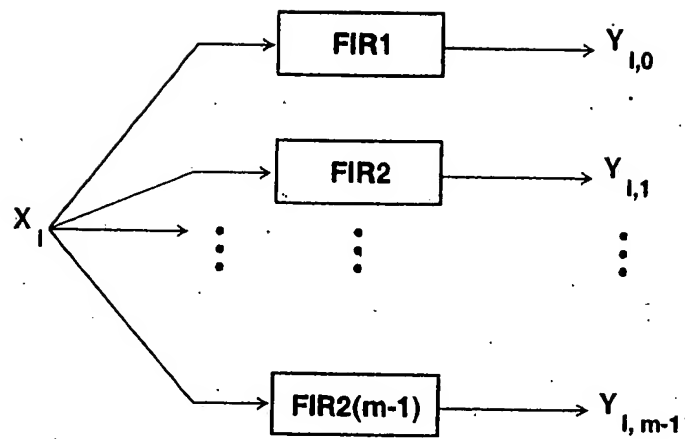
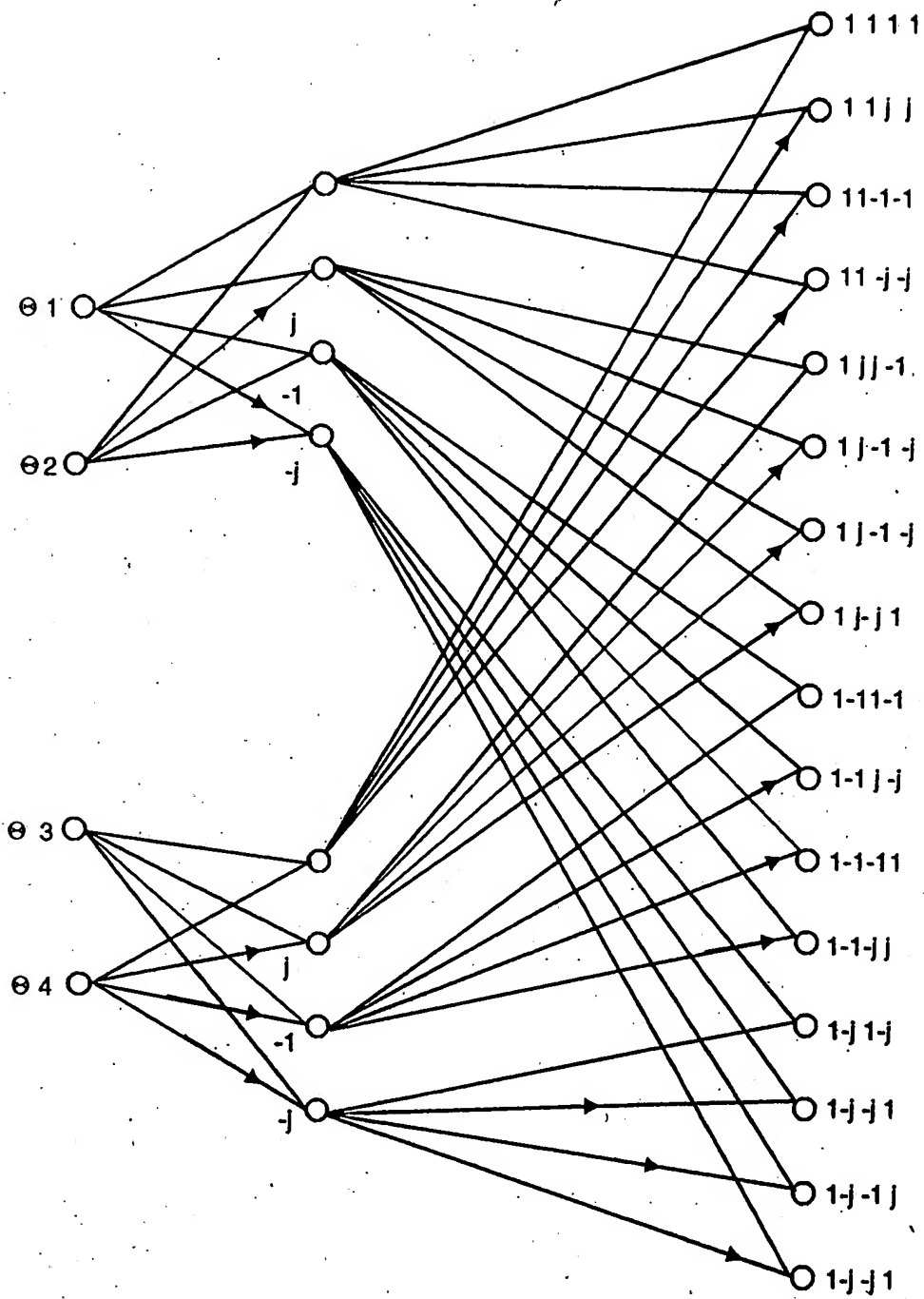


FIG. 4A

$$C_{k,m-1} = \begin{bmatrix} C_{0,0} & C_{0,1} & \dots & C_{0,m-1} \\ & \cdot & & \\ C_{1,0} & & \cdot & \\ & & & \cdot \\ C_{2,0} & & & \cdot \\ & & & \cdot \\ & & & \cdot \\ C_{k,0} & & & C_{k,m-1} \end{bmatrix}$$

FIG. 4B



PSK Fast Hadamard Transform

FIG. 5

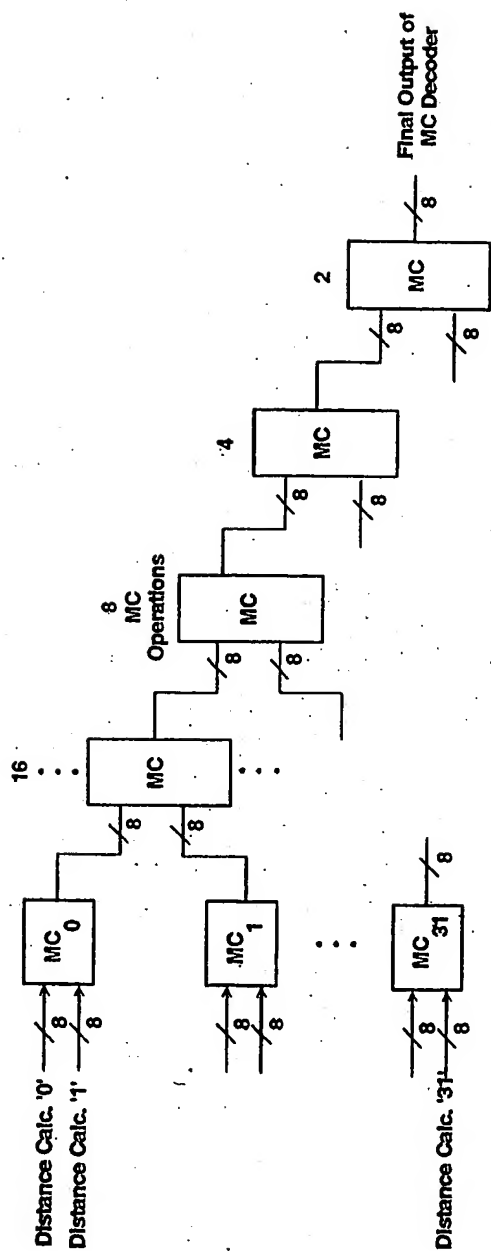
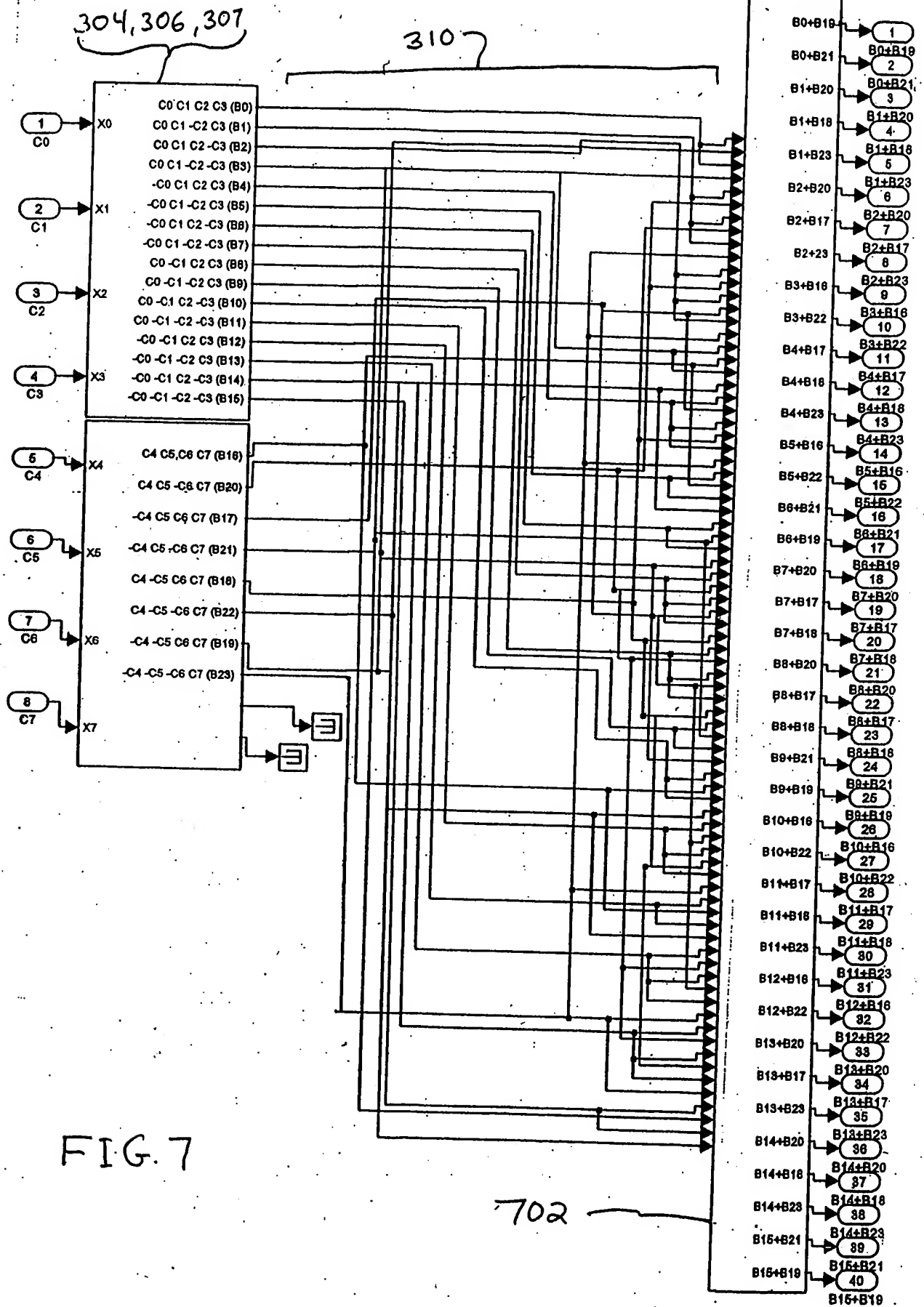


FIG. 6



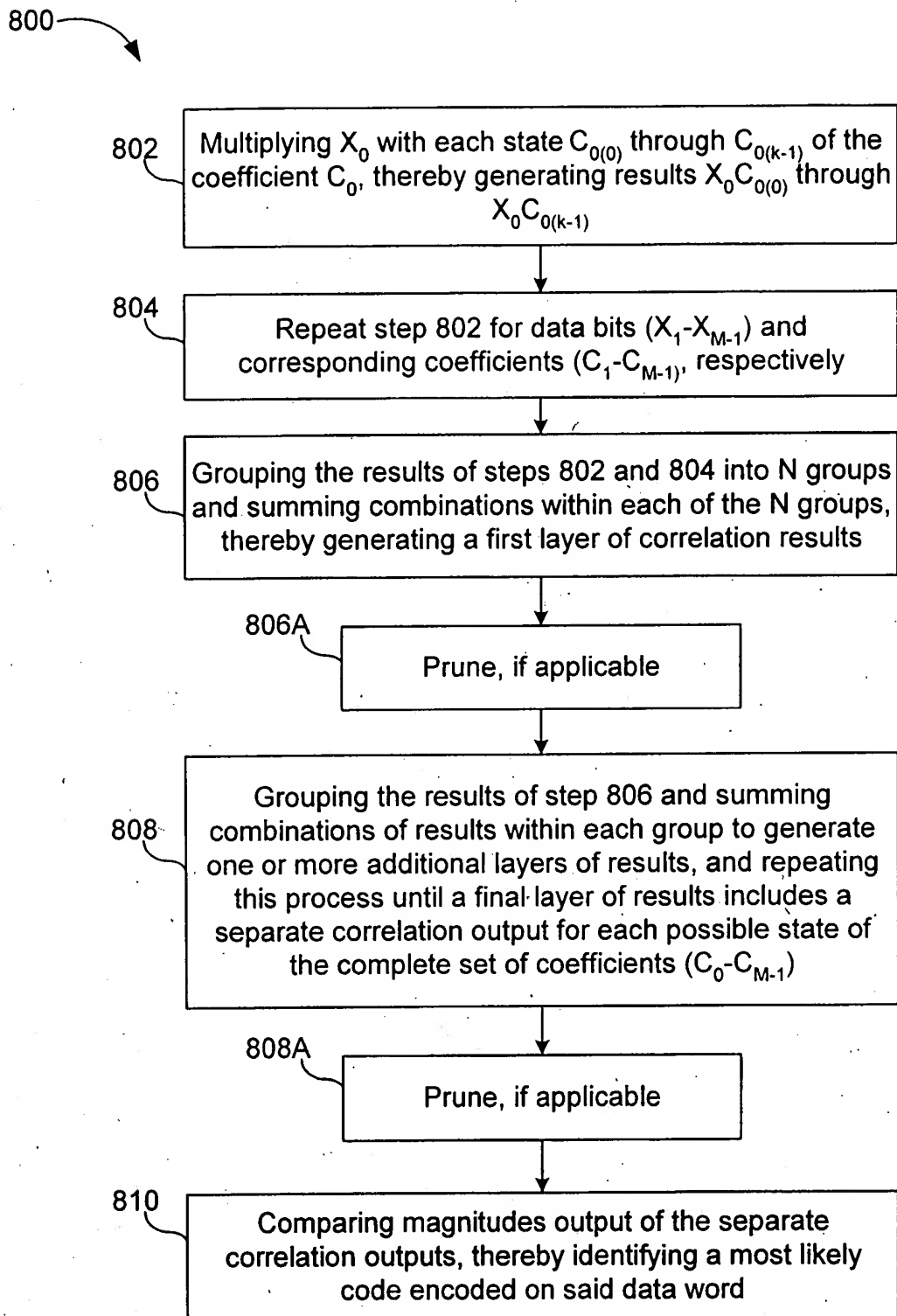


FIG. 8

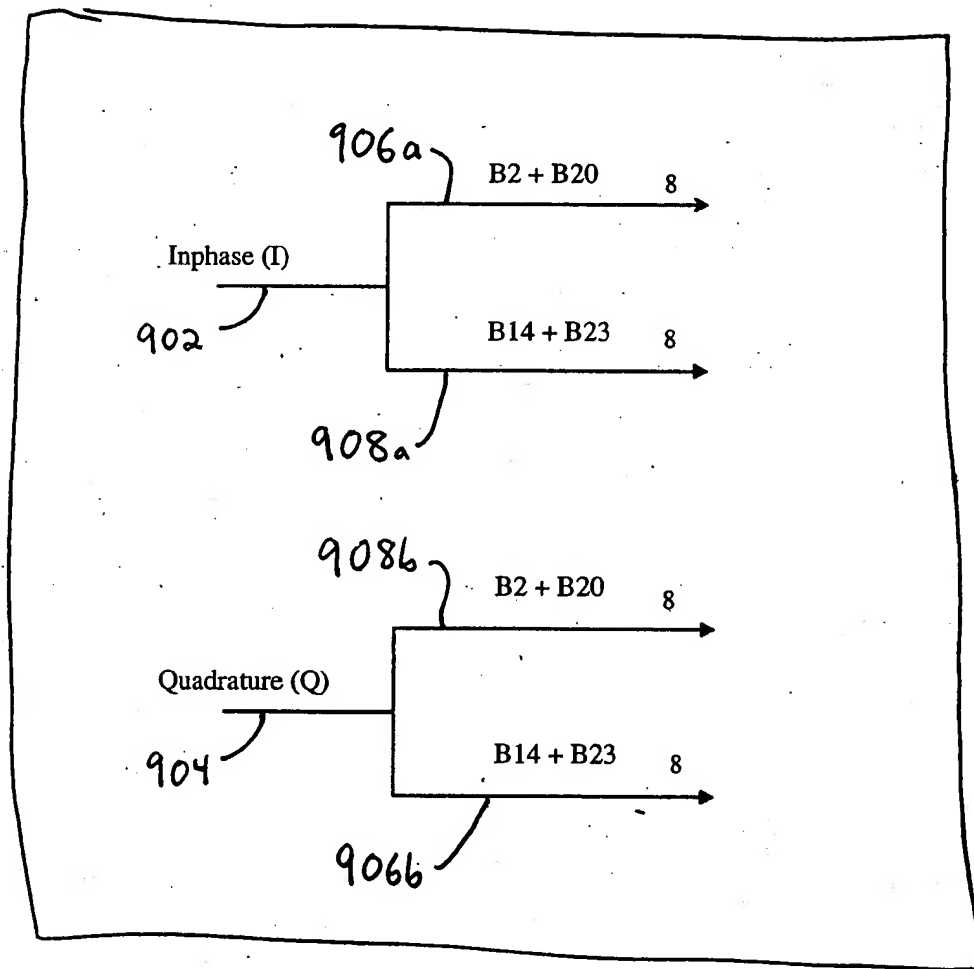


FIG. 9

1000 ↗

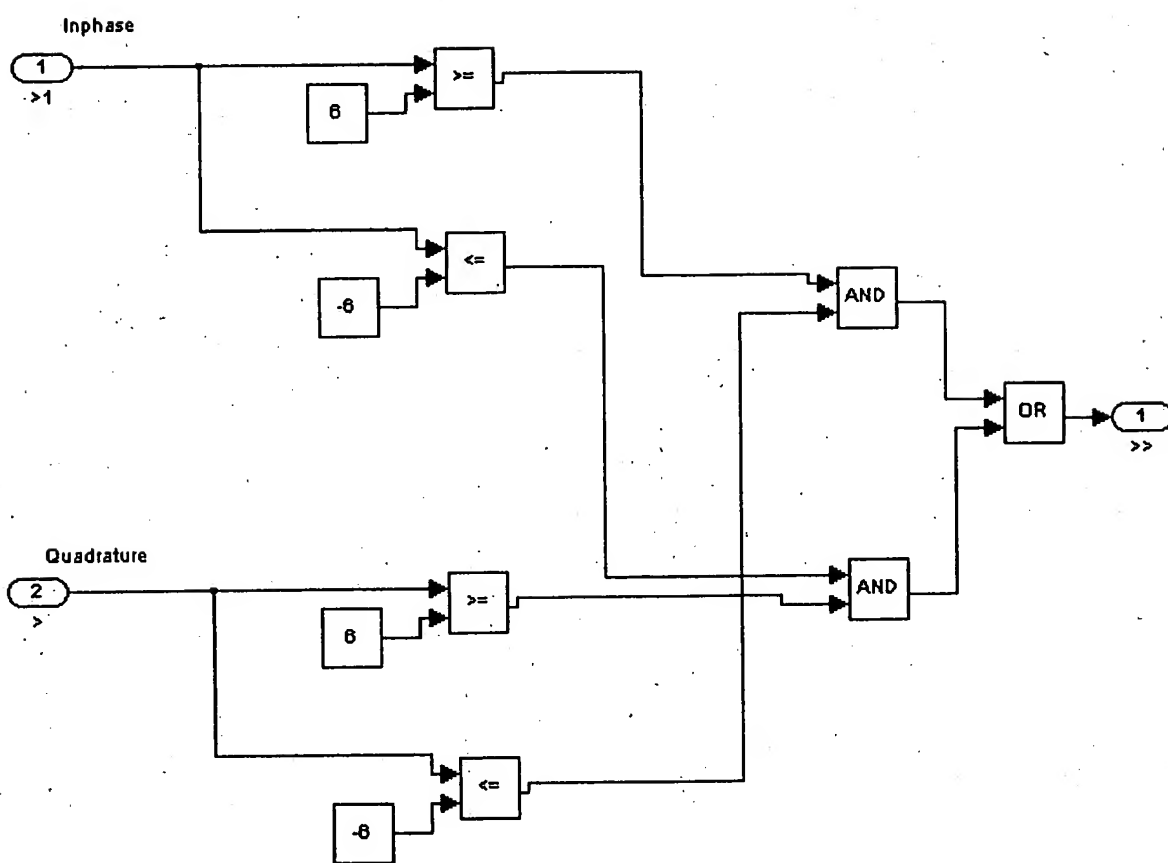


FIG. 10

1100

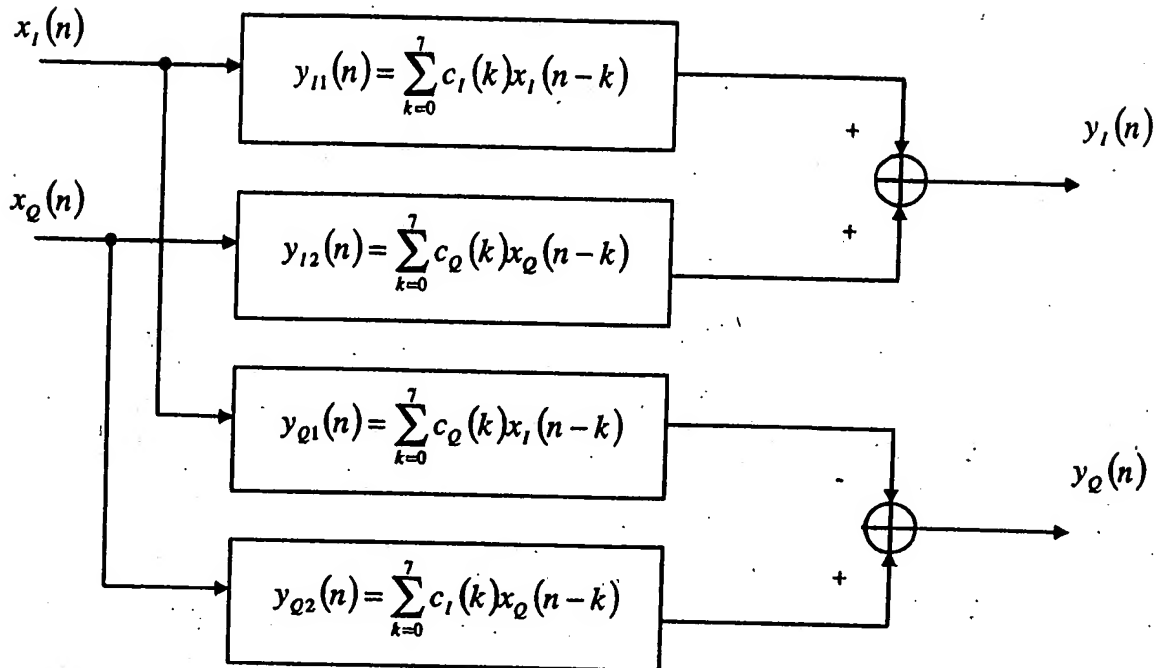


FIG. 11

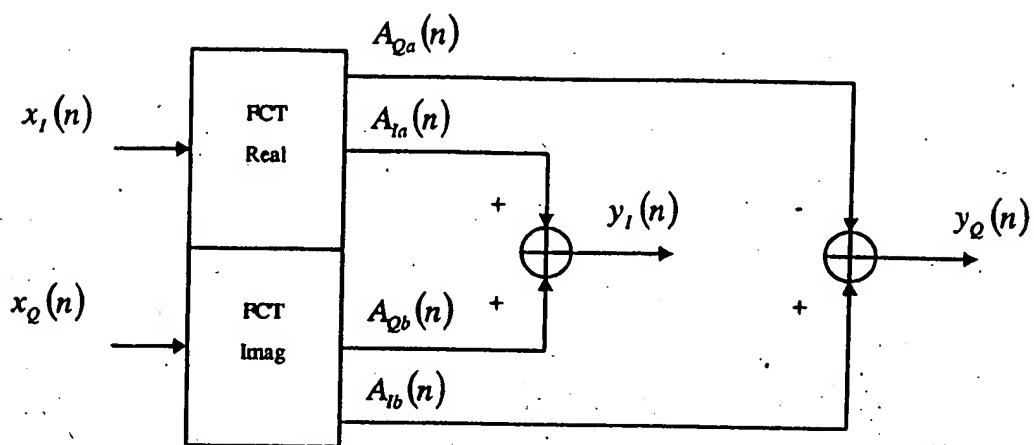


FIG. 12

1300 ~

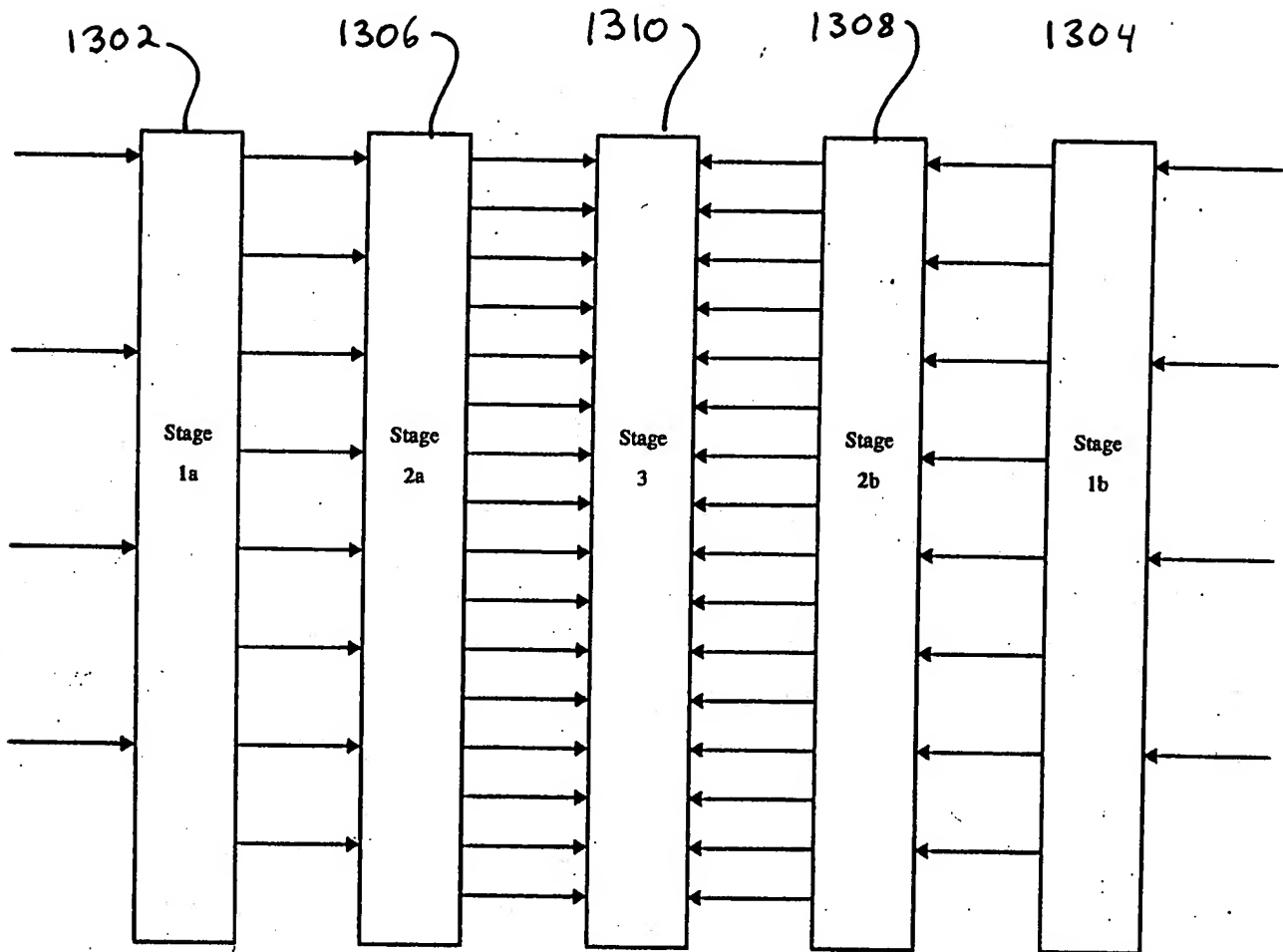


FIG. 13

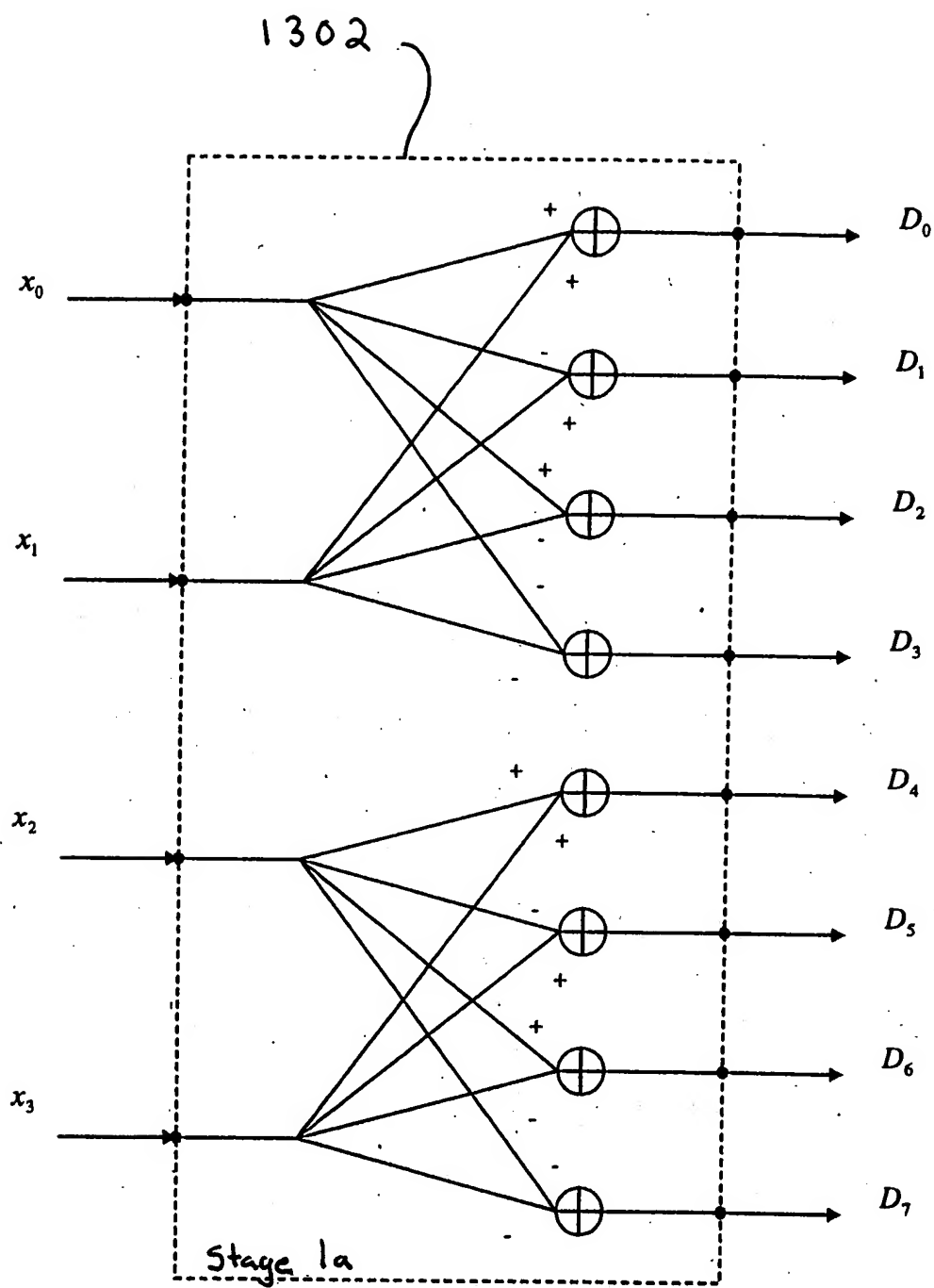


FIG. 14

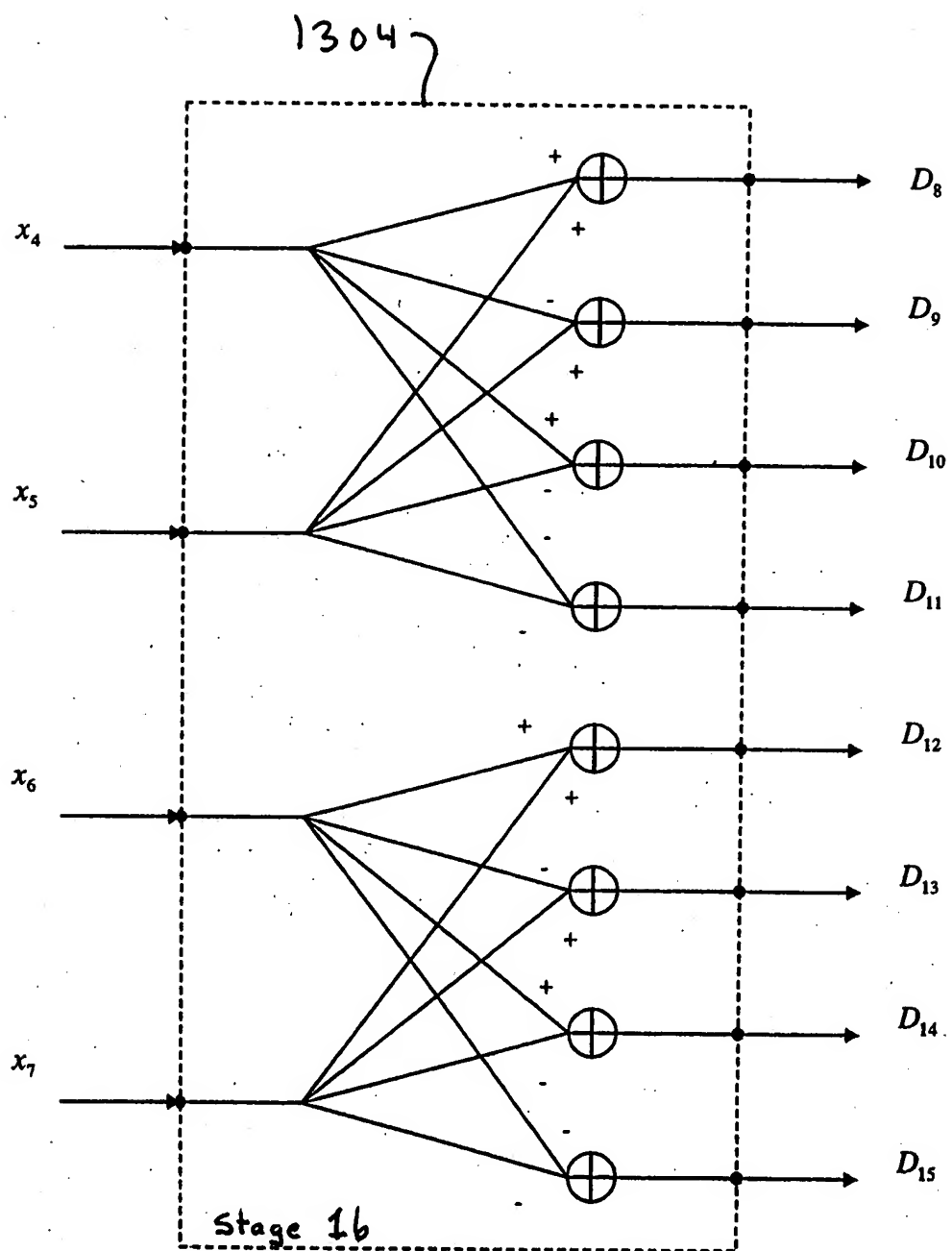


FIG. 15

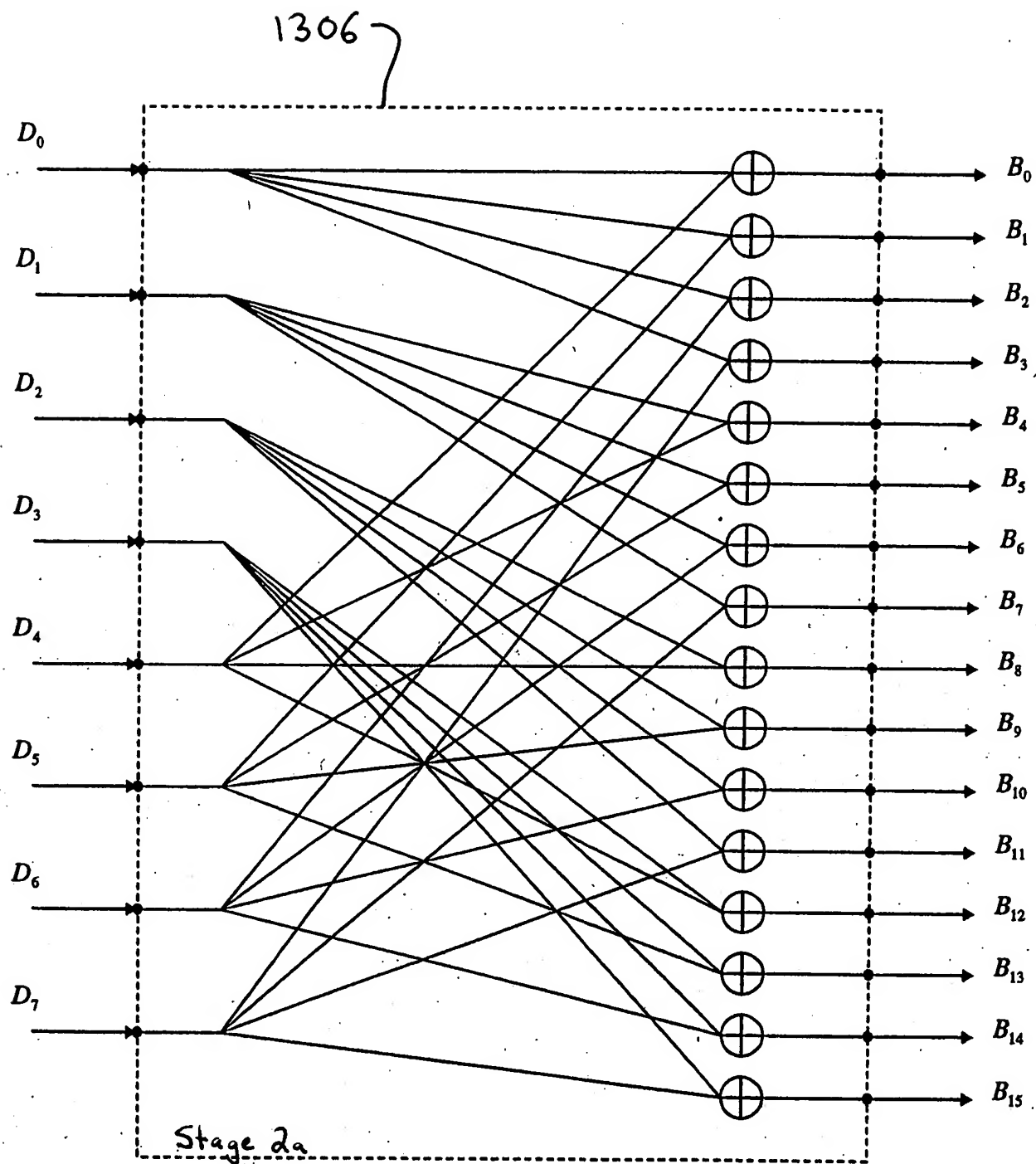


FIG. 16

1308

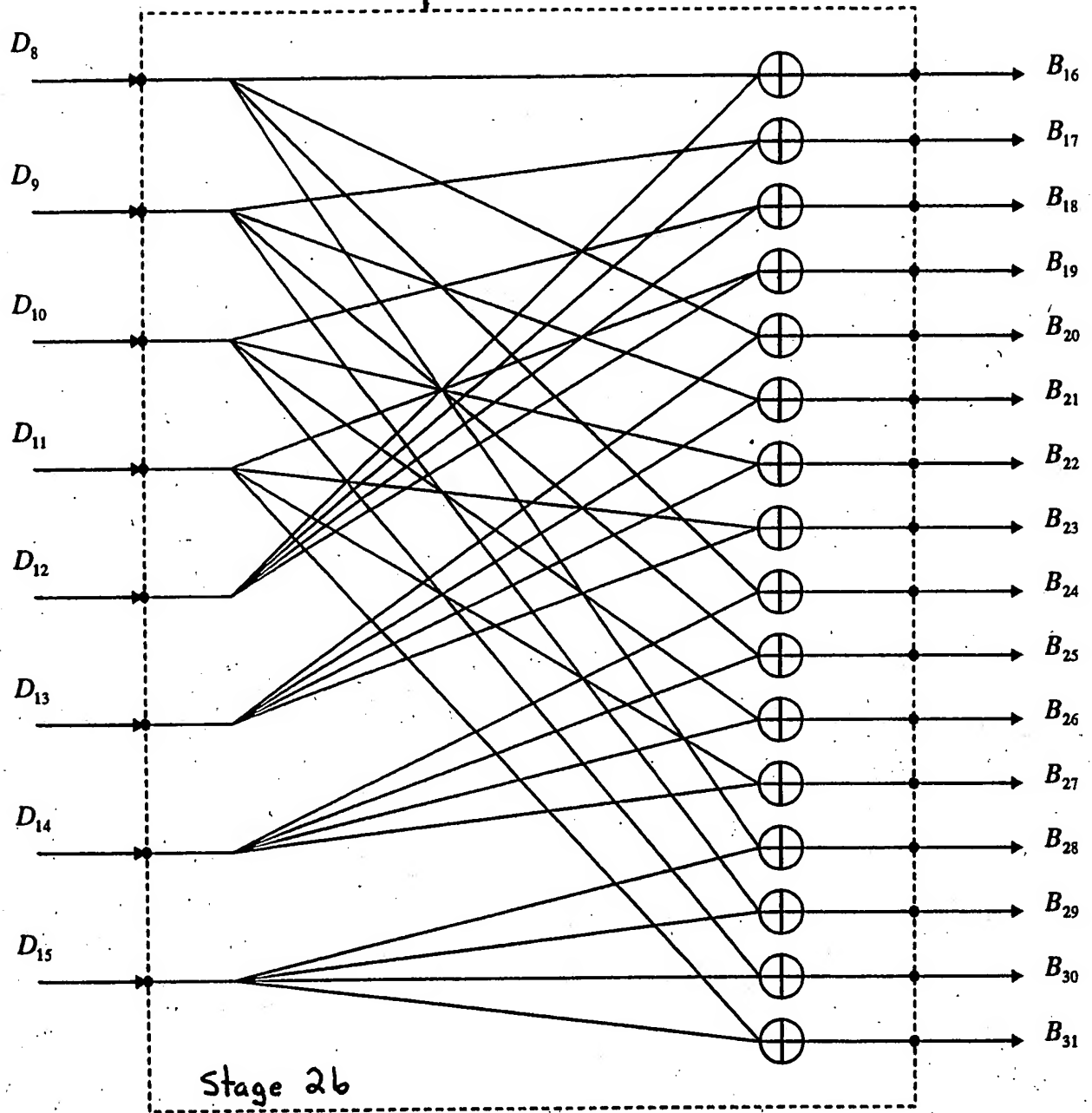


FIG. 17

1800 4

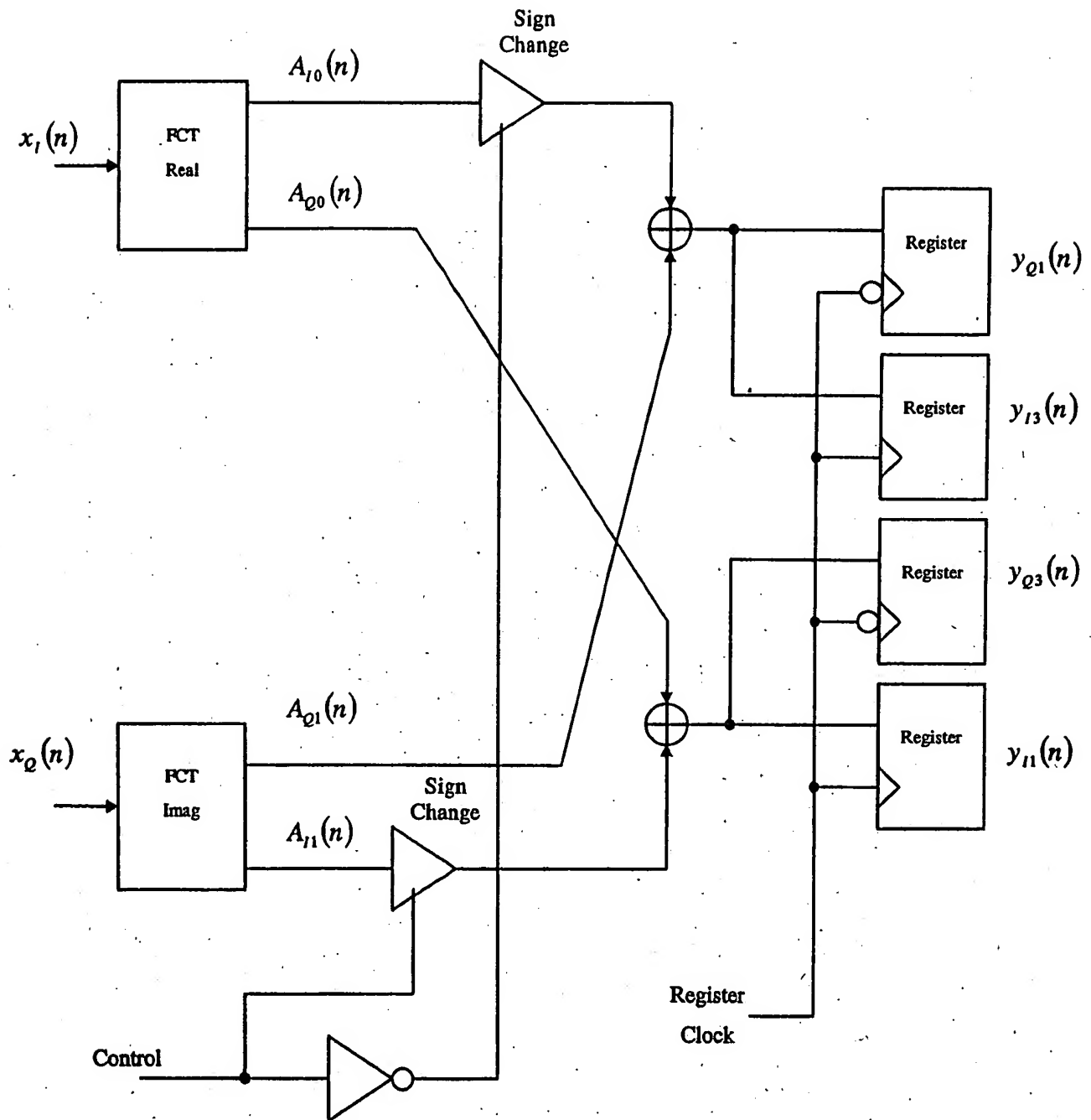


FIG. 18

1900x

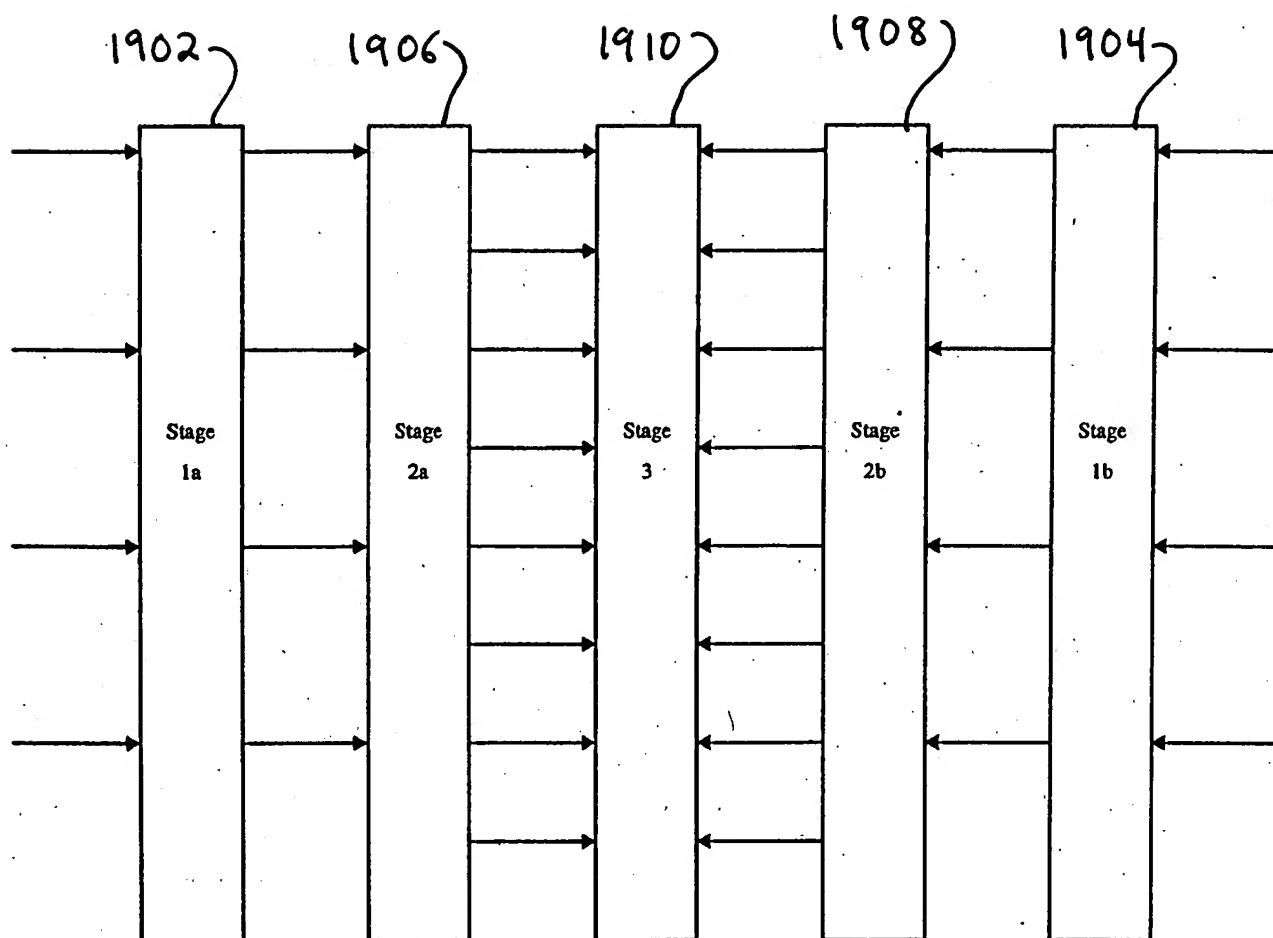


FIG. 19

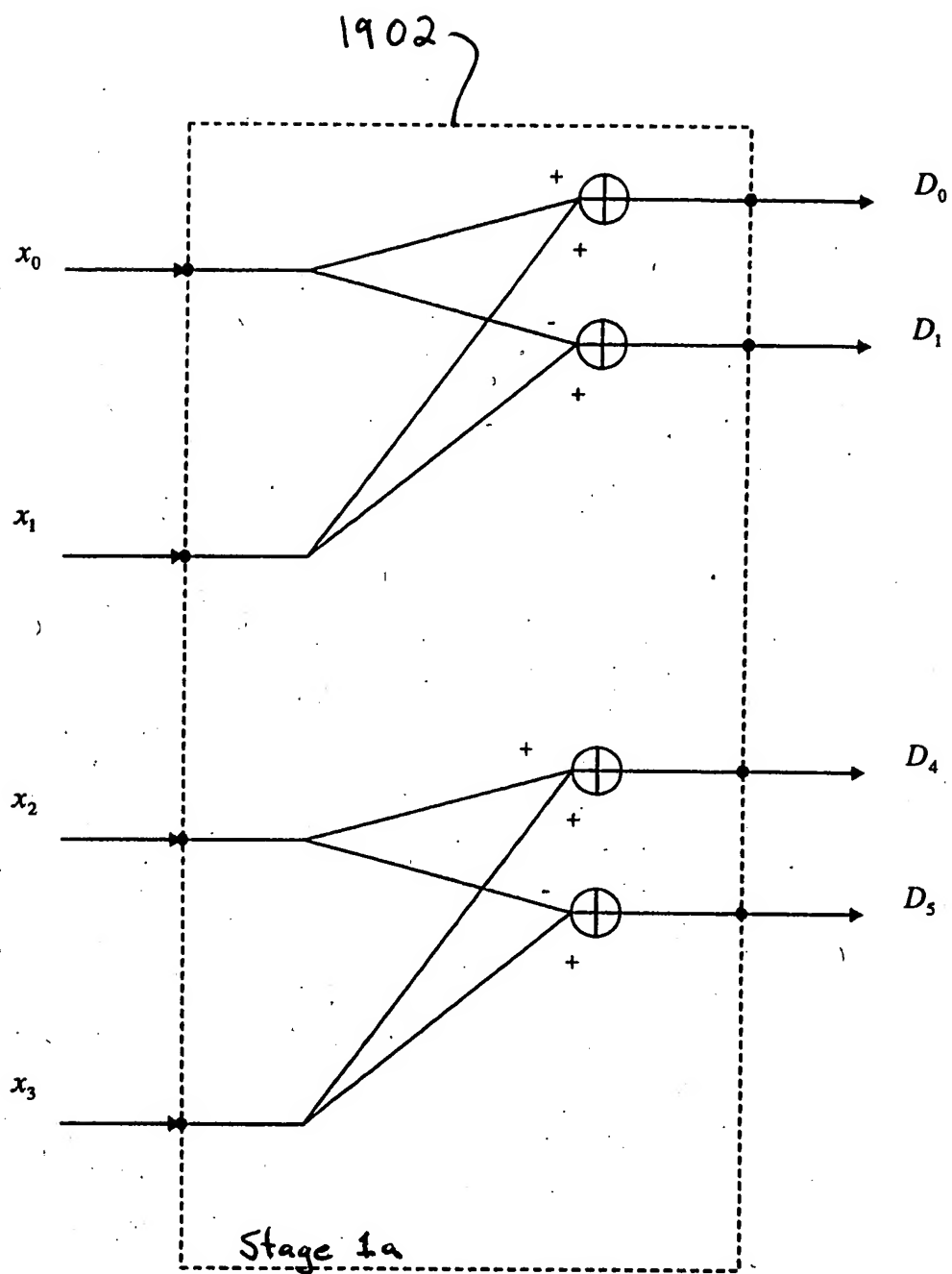


FIG. 20

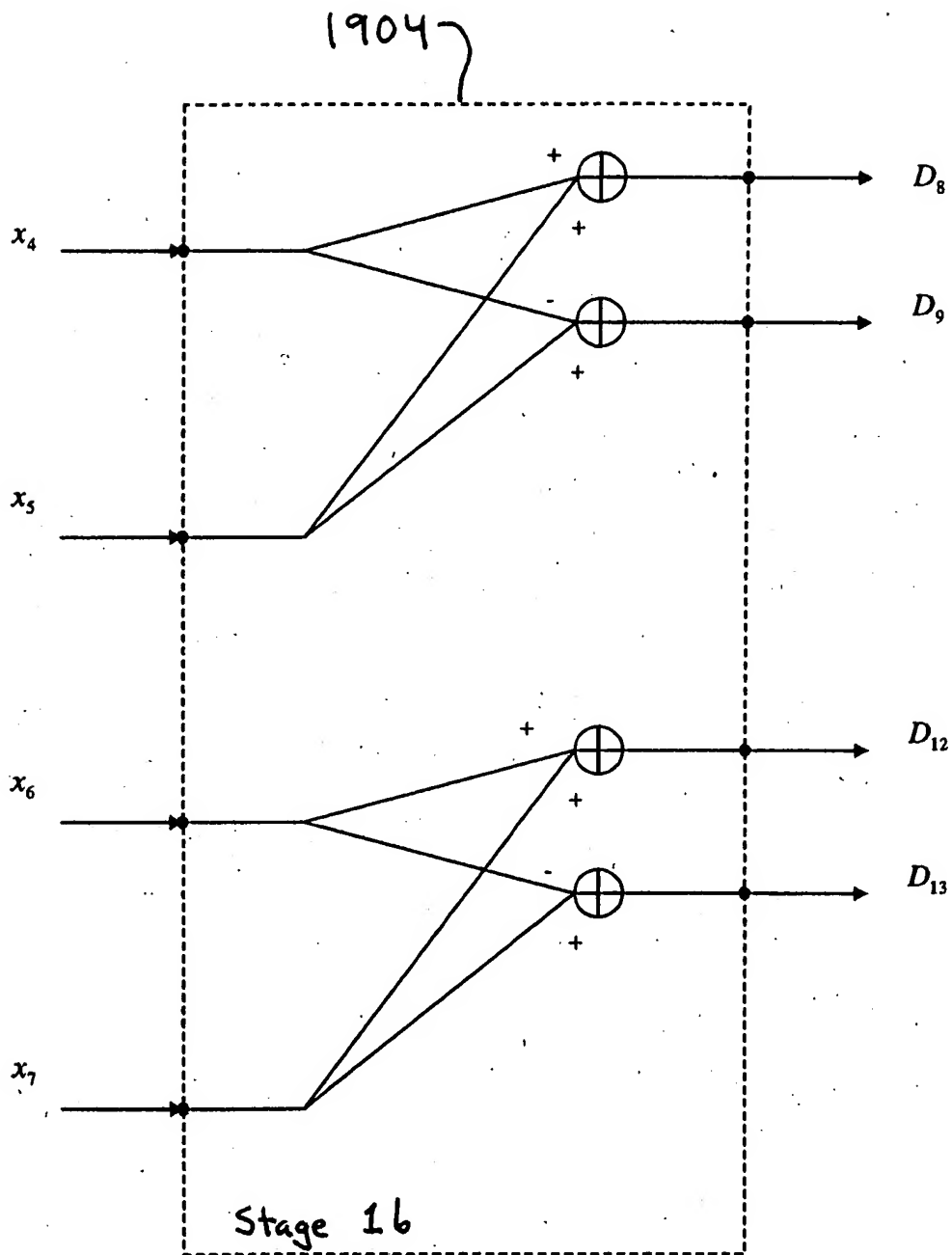


FIG. 21

1906

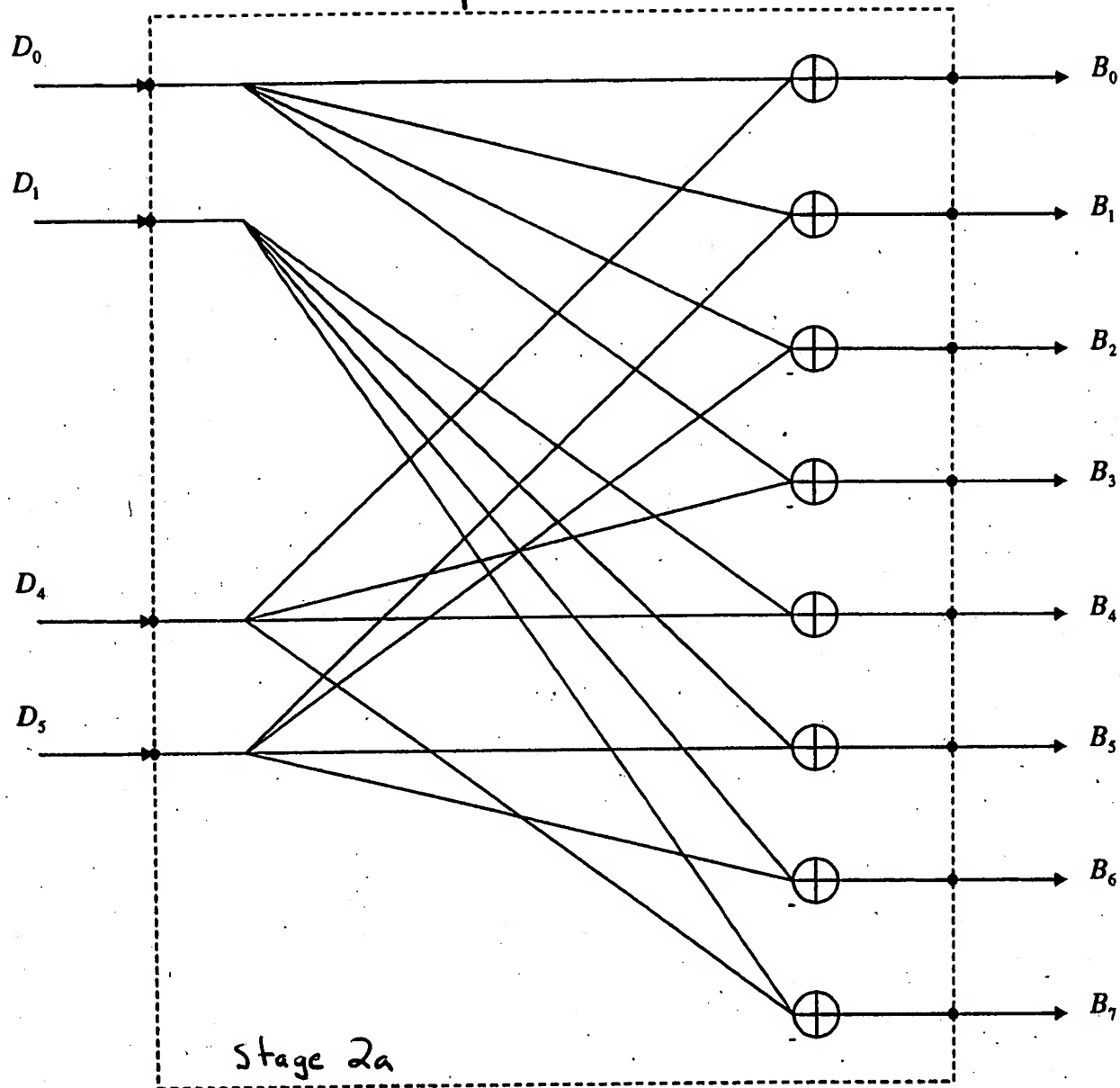


FIG. 22

19087

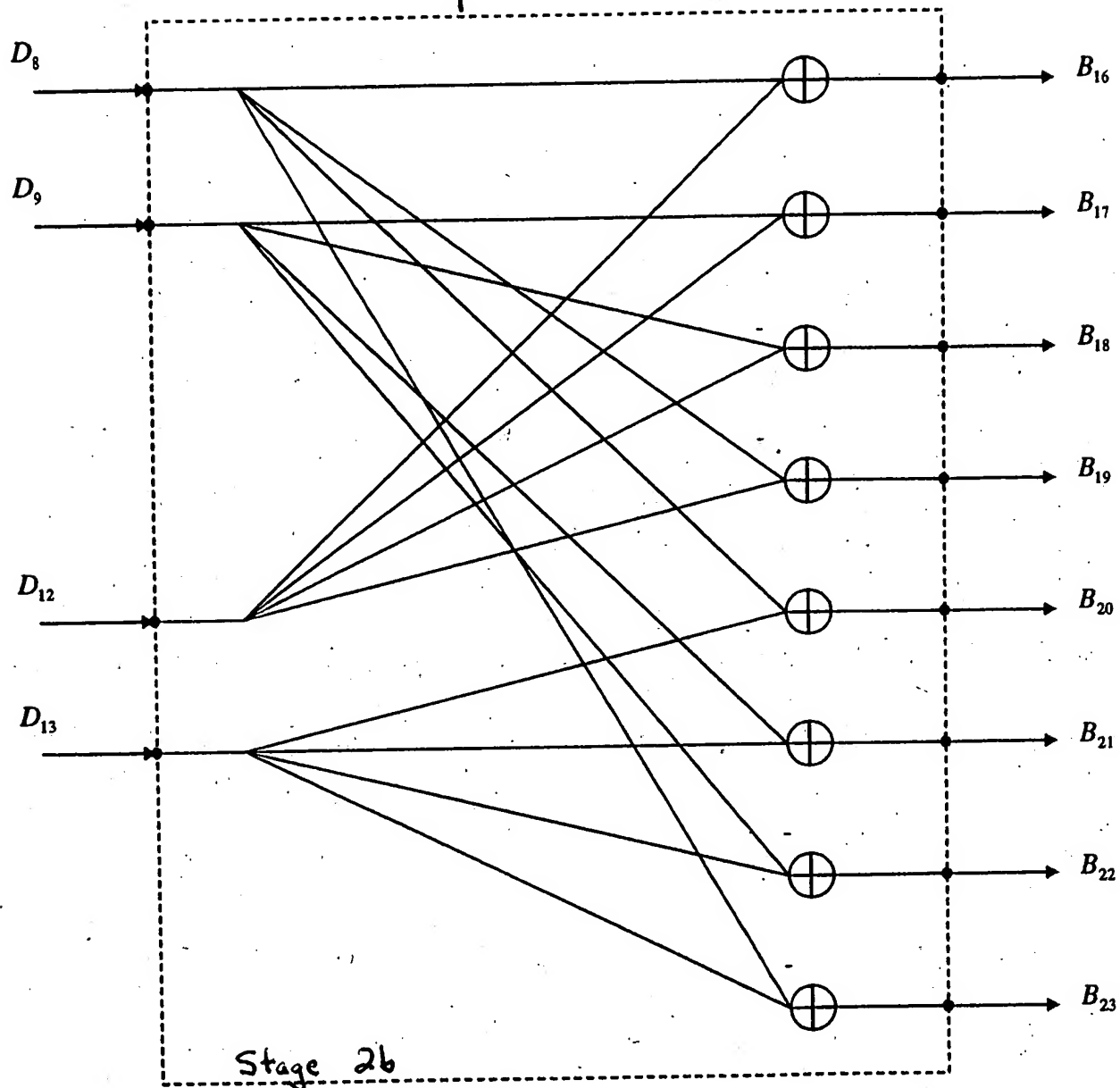


FIG. 23

1910 ~

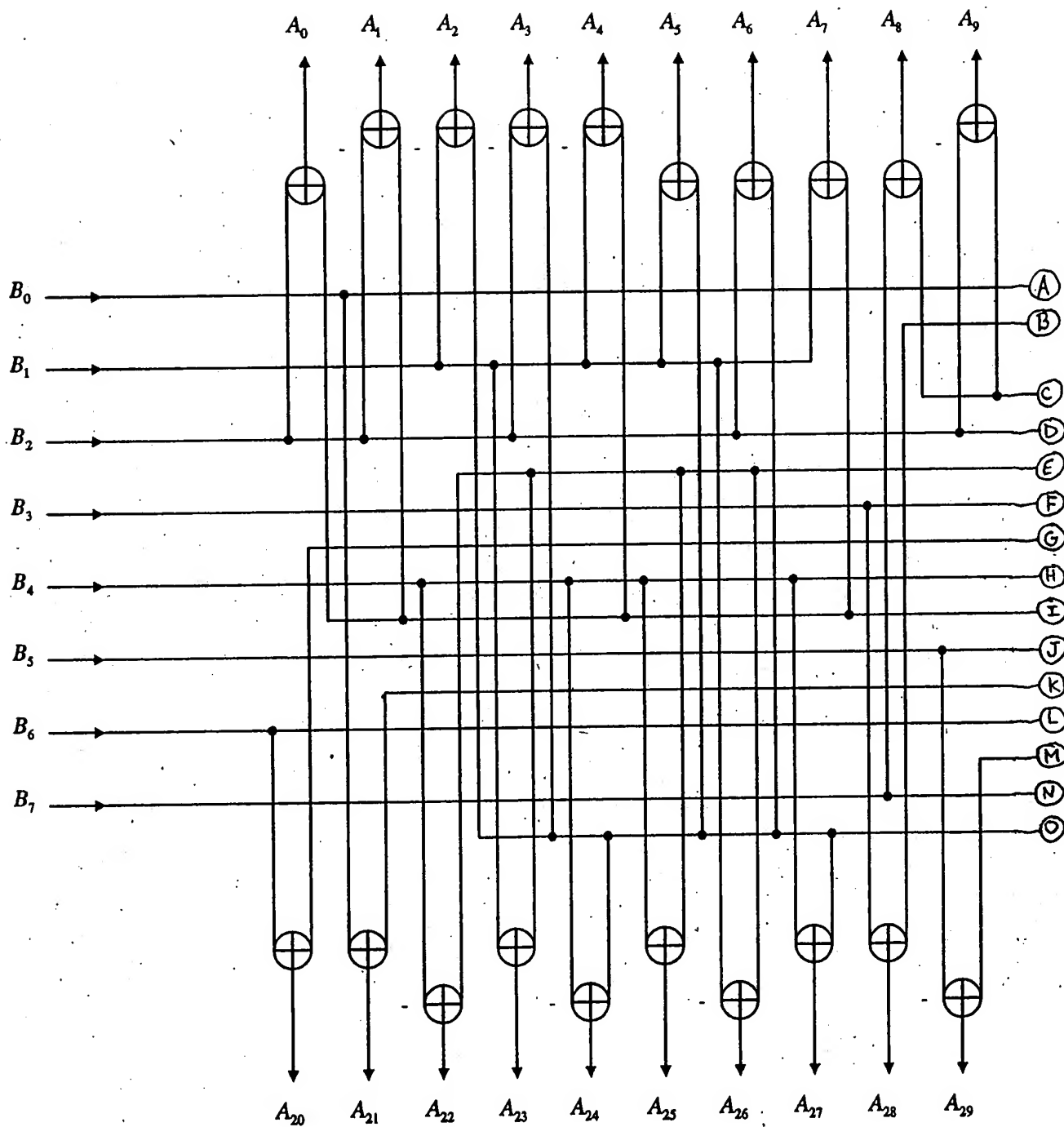


FIG. 24A

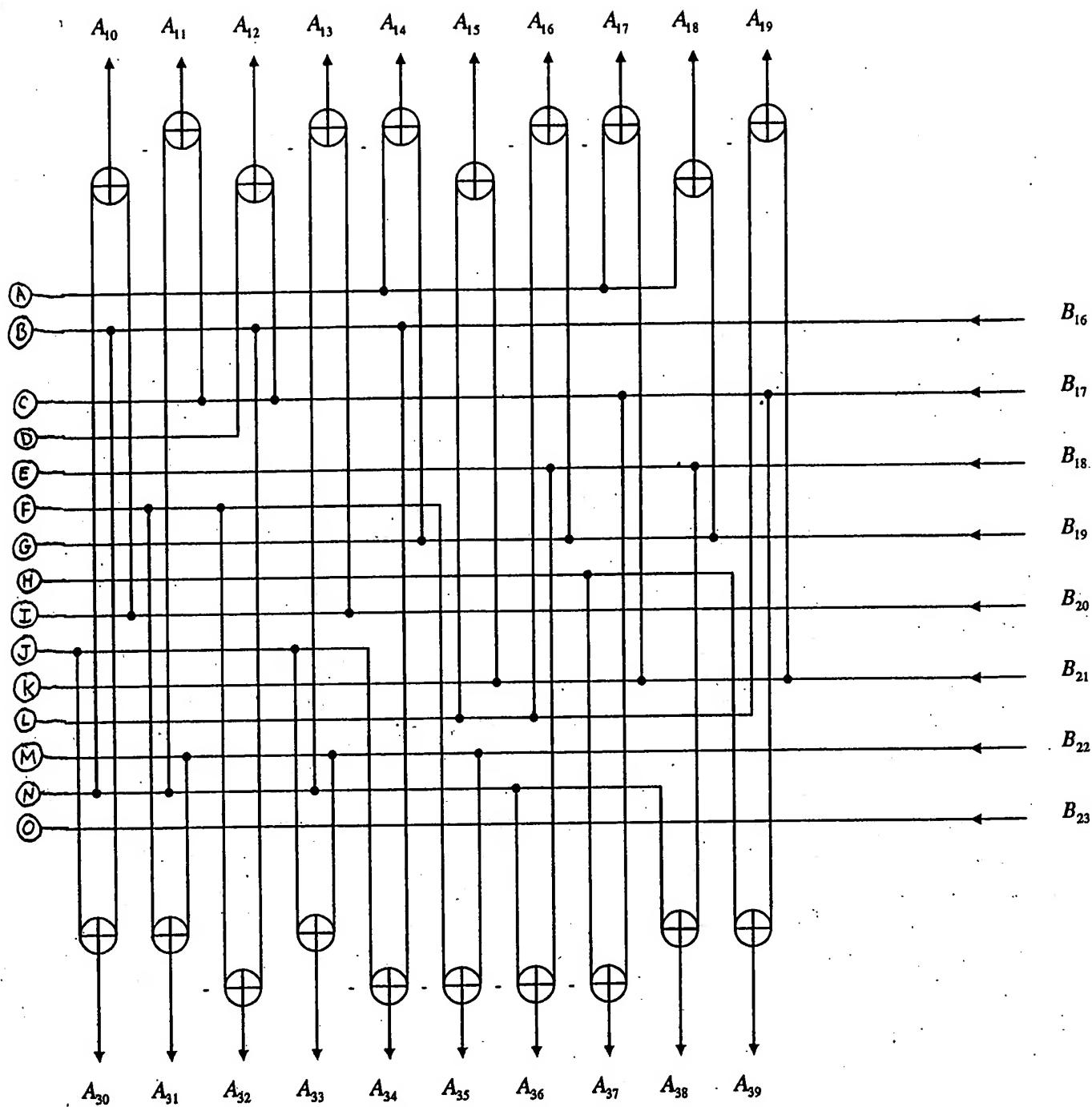


FIG. 24 B

2500 *

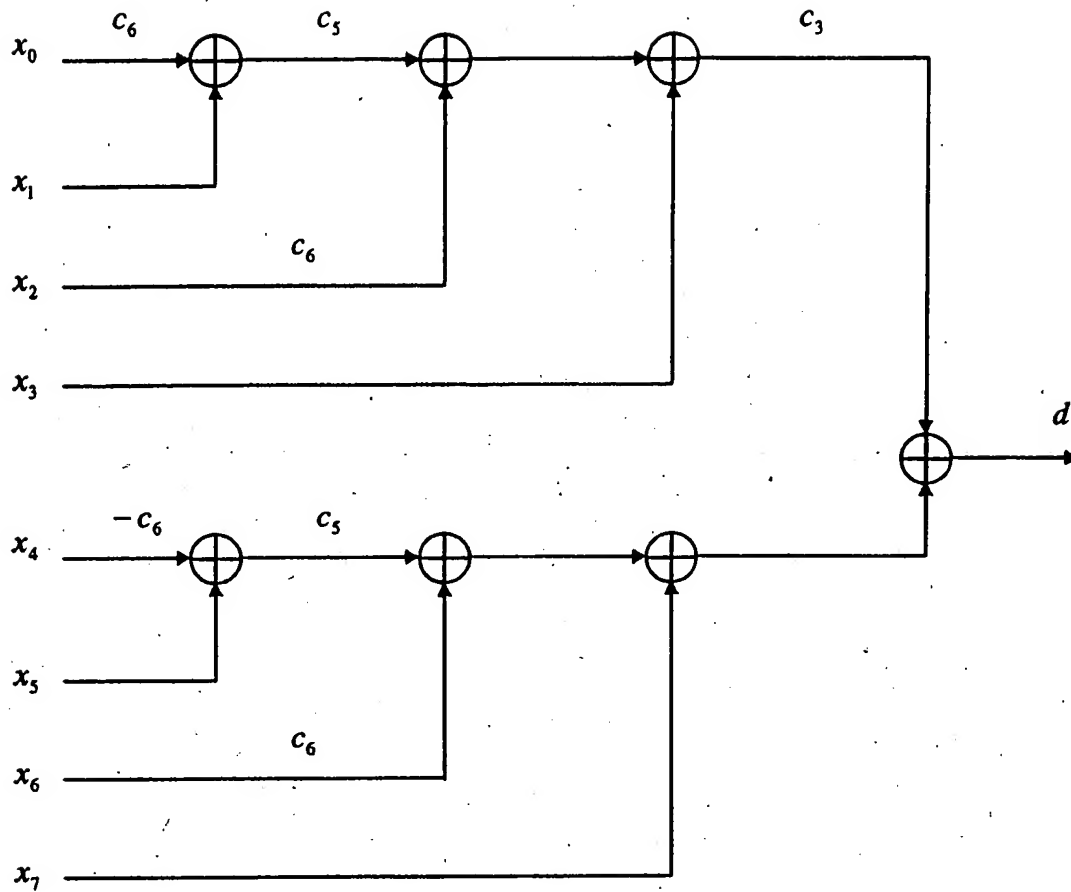


FIG. 25

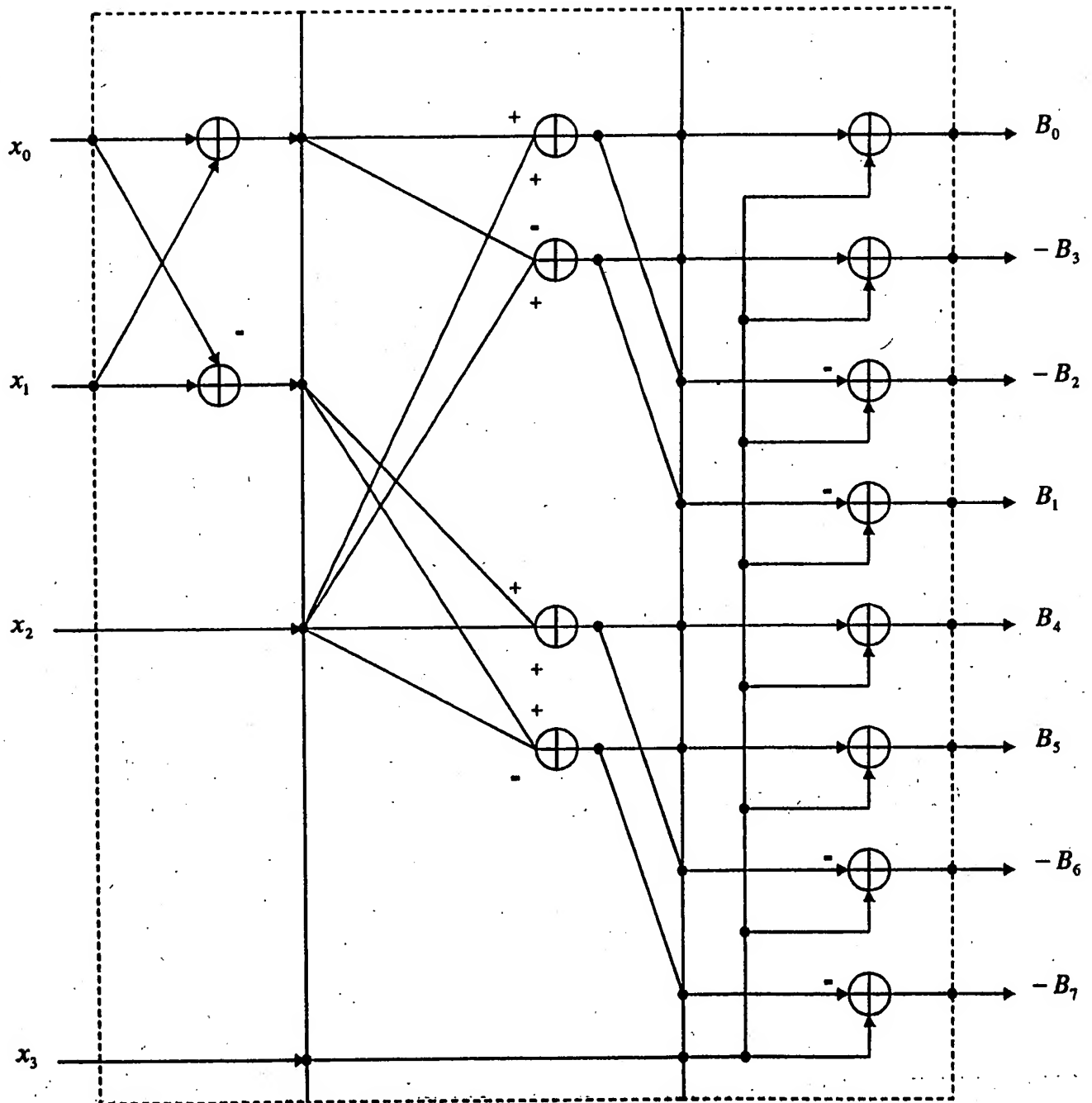


FIG. 26

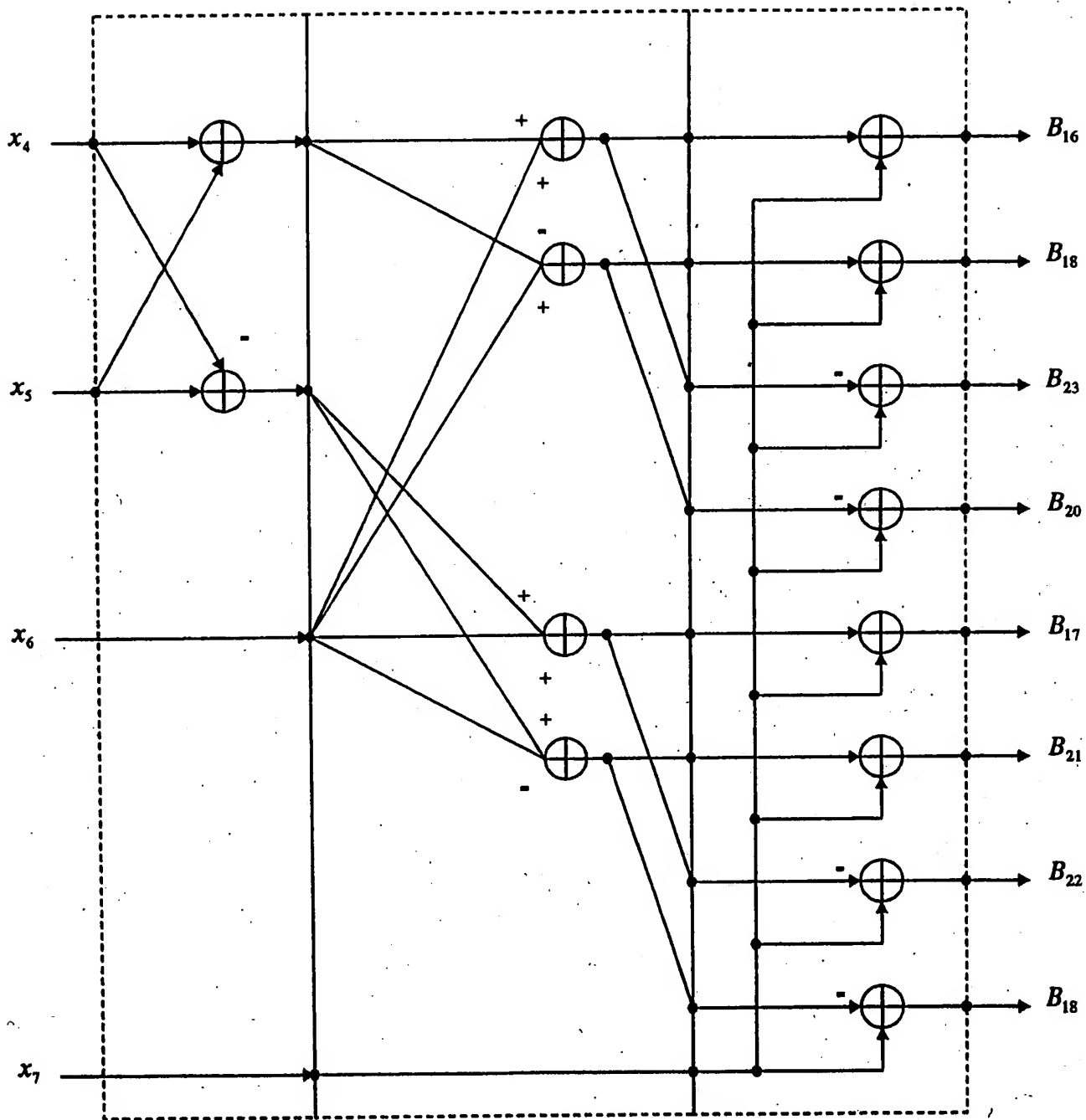


FIG. 27